

TECHNIKA CIEPLNA

CZASOPISMO STOWARZYSZENIA DOZORU KOTŁÓW W WARSZAWIE

OFICJALNY ORGAN POLSKIEGO KOMITETU NORMALIZACYJNEGO DLA SPRAW KOTŁOWYCH

REDAKTOR: Inż. techn. JAN KOMARNICKI

Wydawca: Stowarzyszenie Dozoru Kotłów w Warszawie.

REDAKCJA I ADMINISTRACJA: WARSZAWA, PIĘKNA 32, m. 12. TEL. 8-81-47.

GODZINY BIUROWE: REDAKCJI—PIĄTKI, OD 18 DO 20, ADMINISTRACJI—CODZIENNIE, OD 10 DO 15.

Inż. T. WRÓBLEWSKI.

ELEKTROWNIA ZSCHORNEWITZ

Załączona mapa (rys. 1) uwidacznia rozkład zasobów paliwa w kraju; poza większym skupieniem węgla kamiennego w zagłębiu Dąbrowsko-Śląskiem i zapasami ropy w Mało-



Rys. 1.

polsce, posiadamy zapasy węgla brunatnego, rozrzucone po kraju, bez poważniejszego znaczenia, oraz, zwłaszcza na wschodzie, duże zapasy drzewa i torfu.

Zapasów węgla brunatnego nie można wyzyskać dla celów siłowni zakrojonej na dużą skalę; zasoby torfu również do tego celu się nie nadają ze względu na konieczność posiadania dużych obszarów torfu do eksploatacji, dużych obszarów do suszenia i dużych składów do przechowywania torfu na okres zimowy. Wreszcie wschodnie nasze kresy, wobec małego uprzemysłowienia,

nie odczuwają potrzeby dużej siłowni. Istniejące torfowiska mogą być z korzyścią wyzyskane dla celów ruchu jedynie przez małe elektrownie miejskie, służące dla oświetlenia miast i napędu drobnego przemysłu. Przy zakładaniu takich elektrowni trzeba brać pod uwagę położenie torfowisk w stosunku do miast i należałoby przekalkulować, czy nie opłaca się ustawić elektrownię w pobliżu torfowiska, ze względu na koszt transportu taniego paliwa, a dosyłać do miasta energię elektryczną.

W obecnych czasach istnieje tendencja do ustawiania w małych miastach dla napędu elektrowni silników Diesla, co nie wydaje się racjonalne ze względu na dowoz paliwa, braku wykwalifikowanej obsługi, a co zatem idzie mniejszej pewności ruchu, wreszcie ze względu na narodowej gospodarki zapasami paliwa.

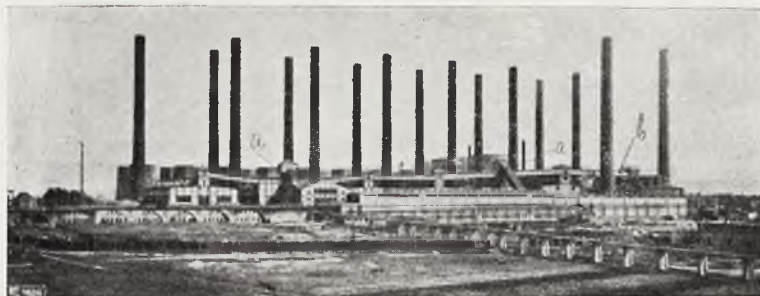
Tendencja ta bywa tłumaczona tem, że elektrownia oparta na Dieslu wymaga krótszego czasu dla uruchomienia, niema okresu rozpalania; zapomina się jednak o tem, że obsługa maszyny parowej jest prostsza, przez co wzrasta pewność ruchu, i okres życia instalacji parowej jest dłuższy niż silnika ropowego, gdyż ten ostatni jest narażony na działanie wyższych temperatur.

Wyżej więc wymienione przemawia za stosowaniem w małych miastach, położonych na wschód od Warszawy, elektrowni parowych opartych na torfie.

Pomimo braku w kraju dużych skupień węgla brunatnego, a więc braku podstawy dla dużej siłowni opartej na węglu brunatnym, opiszemy poniżej siłownię w Zschornewitz'ach koło Lipska, należącą do Niemieckich Państwowych Elektrowni, a to z tego względu, że sporo szczegółów tej elektrowni może czytelników zainteresować.

Siłownia w Zschornewitz (rys. 2) powstała w 1915/16 r; wybudowano wtedy kotłownie A, B, C i D (rys. 3). Przytoczone

zestawienie uwypukla stopniową rozbudowę siłowni.



Rys. 2. Ogólny widok centrali Zschornewitz od strony kotłowni

Z E S T A W I E N I E R O Z B U D O W Y

R O K	Kotłownia	Ilość kotłów	Pom. ogrzew. kotła m^2	Stan pary		Ilość turbogen.	Moc turbogenera-tora KW	Wież chłodni-czych
				atn	temp.			
1915/16	A	16	500	15,5	325	8	16000	11
	B	16	"	"	"			
	C	16	"	"	"			
	D	16	"	"	"			
1921	E	8	575	"	"	1	16000	5
1923	E	8	575	"	"	1	16000	—
1926	F	8	1000	"	"	2	12500	—
						1	37500	—
1928/9	F	8	1000	"	375	2	85000	3
	H	8	1000	"	"	1	40000	

Przy kotłach zbudowanych w 1926 roku zastosowano po raz pierwszy ruszty schodkowe ruchome.

Turbiny o mocy 12500 kW zbudowano na 3000 obr/min. zaś o mocy 37500 kW na 1500 obr/min.

W lecie 1928 r. obciążenie szczytowe dosięgło 209000 kW , co wywołało konieczność rozbudowy siłowni w 1928/9 r. o dalsze 200000 kW .

Zadano sobie wtedy pytanie, czy nie byłoby celowe wybudować nową elektrownię nad brzegiem Elby, ze względu na możliwość wyzyskania wody rzecznej dla celów chłodzenia kondensatorów. Przeliczenie jednak wykazało, że koszt transportu węgla brunatnego na odległość 15 km niweczy oszczęd-

ności uzyskane z mniejszego zużycia pary. W dodatku należało przewidywać, że budowa siłowni nad brzegiem rzeki pochłonie większe sumy na fundamenty. Również rozważano możliwość budowy nowej siłowni obok starej; i tu okazało się korzystniejszą rozbudowę starą siłownię. Odnosnie ciśnienia roboczego zdecydowano dotychczasową jego wysokość utrzymać z następujących powodów:

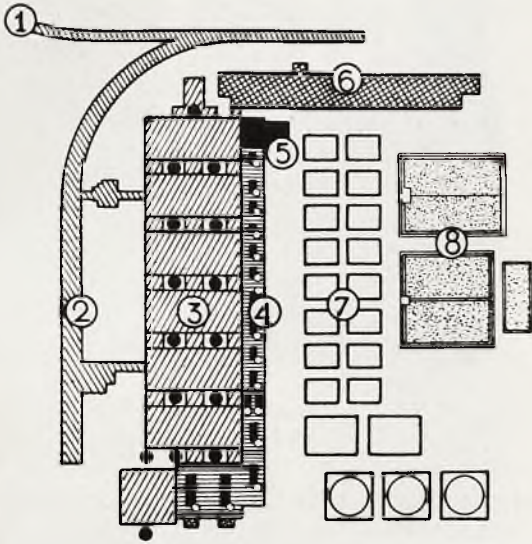
1) pewność ruchu przy jednakowej wysokości ciśnienia roboczego jest większa,

2) rezerwy kotłów i maszyn przy jednakowej wysokości ciśnienia roboczego mogą być mniejsze,

3) przy ew. rozbudowaniu instalacji na ciśnienie 100 at łatwiej będzie przy ciśnieniu

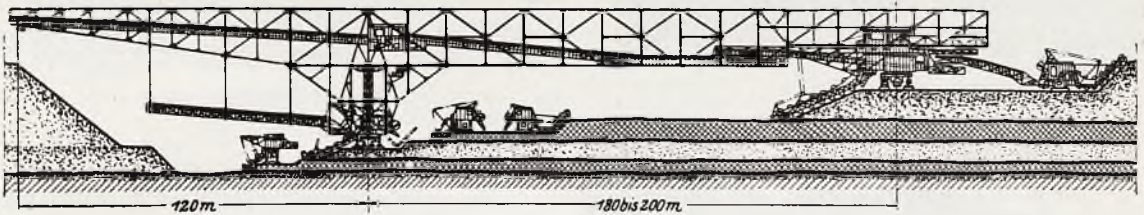
15,5 atn zastosować przegrzanie międzystopniowe niż przy ciśnieniu 40 atn,

4) badania wykazały, że przy ciśnieniu 100 atn można osiągnąć 20% oszczędności paliwa, lecz mała ta oszczędność wskutek niskiego kosztu paliwa nie idzie w parze z pewnością ruchu.



Rys. 3

Z planu sytuacyjnego okazało się, że starą maszynownię można podłużyć o 15 m i ustawić tam turbogenerator 40000 kW; nową maszynownię zbudowano prostopadłe do osi starej i postawiono tam 2 turbogeneratory po 85000 kW.



Rys. 4. Konstrukcja i sposób działania windy mostowej

Przy rozbudowie elektrowni w 1928/9 r. trzeba było wykonać następujące roboty:

- 1) ustawić 8 kotłów o 1000 m² pow. ogrzew. w kotłowni F i 2 kominy 100 m wysokości i 5040 mm w świetle,
- 2) powiększyć objętość składów węgla o 6000 m³,
- 3) wybudować 2 instalacje do mielenia pyłu o wydajności 10 t/godz. każda,
- 4) podłużyć starą maszynownię,
- 5) wybudować nową maszynownię wraz z transformatorownią,
- 6) wybudować kotłownię G na 8 kotłów o pow. ogrz. 1000 m² każdy,
- 7) ustawić 2 kominy po 120 m wysokości i 6400 mm w świetle,

8) ustawić 3 betonowe wieże chłodnicze o wydajności 14000 m³/godz. każda,

9) powiększyć stację pomp nad Muldą i wybudować przewód tłoczący 800 mm średnicy i 8,2 km długości dla dostarczenia z Muldy do siłowni wody,

10) wybudować nową stację pomp w bliskości siłowni celem przepompowywania wody rezerwowej,

11) założyć 2 nowe odstożniki,

12) rozszerzyć stację rozdzielczą i transformatorownię.

Roboty rozpoczęte 9 marca 1928 r. ukończono w końcu 1929 r. pomimo mrozów w zimie 1928/29 r. Niektóre roboty betonowe wykonano przy -15°C, oczywiście przy zastosowaniu ostrożności. Specjalne laboratorium wykonywało stałą kontrolę nad materiałami budowlanymi a zwłaszcza betonem.

Pierwszy kocioł z planu rozbudowy 1928/9 r. został uruchomiony 1 października 1928 r. Turbogenerator AEG o mocy 37500 kW uruchomiono w środku maja 1929 r. Pierwszy turbogenerator o mocy 85000 kW uruchomiono w listopadzie 1929 r., drugi wkrótce później.

Przy robotach tych wydobyto i wywieziono 111000 m³ ziemi użytych 62000 m³ piasku, 6000 t żelaza, 12000 t cementu, 10800000 sztuk cegieł różnego rodzaju, 47800 m³ betonu. Ogółem dowieziono 14205 wagonów materiałów.

Opis instalacji rozpoczniemy od odkrywki węgla brunatnego.

Siłownia zużywa węgiel brunatny o wartości opałowej około 2200 cal/kg, o zawartości

wody około 53%¹⁾ i 6-8% popiołu, wydobywany z kopalni odkrywkowej „Golpa”, położonej obok siłowni. Węgiel znajduje się pod warstwą piasku i gliny grubości 1,6-2 m grubości. Sposób wydobycia uwidocznia rys. 4.

Suwnica mostowa o rozpiętości zmiennej 180 - 200 m, w celu umożliwienia odchylenia mostu o 25° od osi i uniknięcia zacinania, posiada 2 wysięgi; jeden z nich 120 m drugi 75 m długości ramienia. Przy punktach oparcia mostu znajdują się bagrownice wahadłowe. Ziemia wybrana bagrownicami zostaje prze-

¹⁾ Por. analizy torfów, zamieszczone w pracy inż. A. Kornella „Zasoby torfu” w Sprawozdaniach Polskiego Komitetu Energetycznego (Przegląd Techniczny, 1930, zesz. 50).

niesiona na wysięgi, skąd zsypywana jest na chałdy. Inne bagrownice wydobywają węgiel i zsypują go do wagonów. Punkty podparcia mostu leżą w dwóch poziomach ze względu na to, że węgiel występuje dwoma warstwami

Ciężar suwnicy bez bagrownic i bez wyposażenia elektrycznego wynosi 3750 t; zainstalowana na suwnicy moc wynosi 3245 kW; szybkość przesuwania suwnicy wynosi 4 — 5 m/min; ilość wydobytej ziemi wynosi maxi-



Rys. 5. Bunkry węglowe centrali Golpa/Zschornewitz

mum 2760 m³/godz.; szerokość taśmy głównej wynosi 1700 mm a szybkość jej 3 m/sek. Wydajność bagrownic wynosi w sumie 2000 m³/godz ziemi. Wydajność jednej bagrownicy dla węgla wynosi 550 t/godz.

Specjalna kolej elektryczna (rys. 5), dwutorowa, zwozi węgiel wagonami à 20 t z kopalni do zasieków (widoczne na rys. 5) o ogólnej pojemności 14000 t; ogólna długość ich wynosi 225 m.

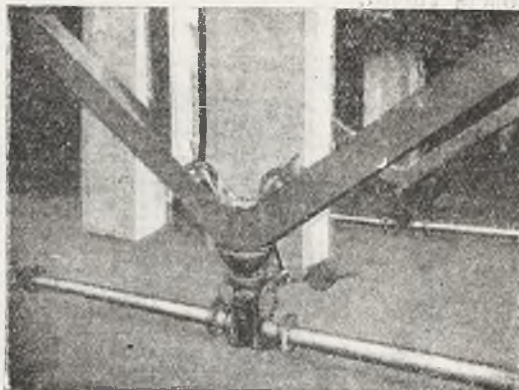


Rys. 6. Układ ezektorów w podziemiu

Z zasieków 2 do kotłowni 3 (vide rys. 3) przynosi węgiel 6 taśm. żelaznych po 400 t/godz. wydajności każda, stąd zaś dalej 4 pochylnie (vide rys. 2; oznaczone znakami „a”) po 375 t/godz. każda, a następnie w kotłowni taśmy gumowe poprzeczne i podłużne (po 2 taśmy każdego rodzaju) o szerokości 1 m i 250 t/godz. wydajności każda. Taśmy poprzeczne znajdują się w pomieszczeniu „b” na rys. 3.

Bunkry w kotłowniach mieszczą po 350 t węgla dla każdego kotła.

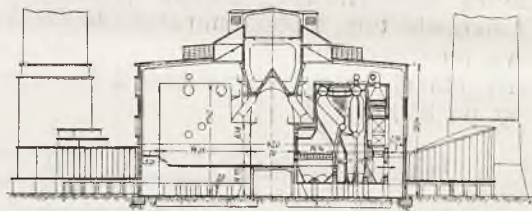
Siłownia Zschornewitz posiada 30 kotłów wyposażonych w dodatkowe paleniska na pył węglowy. Brykiety węgla brunatnego, do-



Rys. 6a. Transportowanie popiołu. Widok w kierunku zwałów popiołu

starzone z kopalni „Golpa”, mielone są w dwóch instalacjach po 10 t/godz. wydajności, dostarczonych przez f. Polysius.

Paleniska na pył służą jako rezerwa; przy ich pomocy można w kilka minut podnieść wydajność kotła o 30 — 40%; służą one do po-



Rys. 7. Przekrój przez kotłownię G

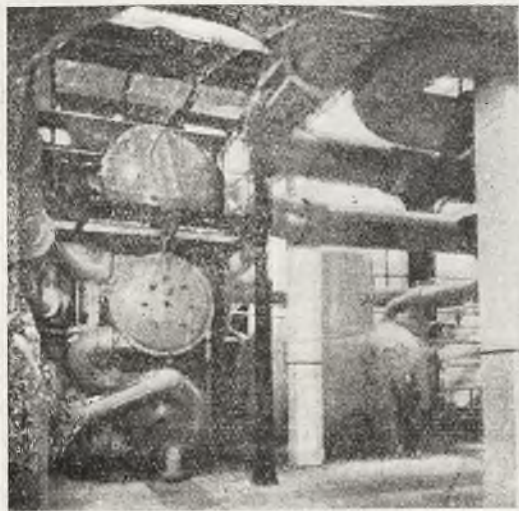
krywania szczytów obciążeń i na wypadek znacznego podniesienia wilgotności węgla wskutek deszczów.



Rys. 8. Wnętrze kotłowni G

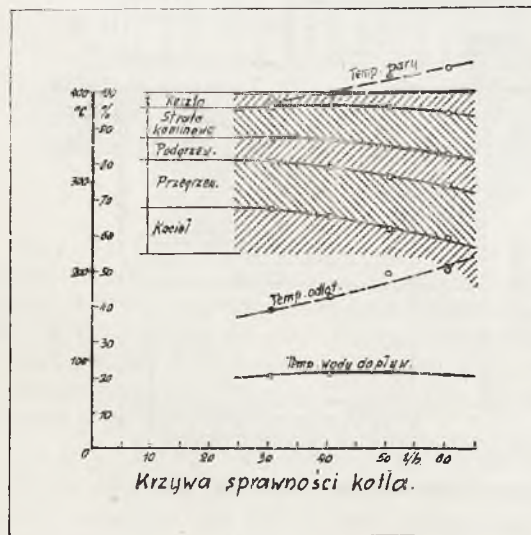
Popiół i szlakę początkowo wywożono wywrotkami, następnie dokonano prób z pneumatycznym odpopielaniem; ostatecznie jednak zdecydowano się na odpopielanie przy pomocy wody pod ciśnieniem. Od 1924 r. popiół i szlaka

są usuwane z koszów popielnikowych ejetorami (rys. 6) przy ciśnieniu wody 25 atn i tłoczone 12 przewodami po 150 mm (rys. 2 oznaczenie „c⁴”) do odkrywki (rys. 6 a), leżącej w odległości 1 km od siłowni; woda po odstaniu jest odpompowywana. Zapotrzebowanie wody wynosi 6 m³ na 1 m³ popiołu; do tego celu pobiera się wodę chłodzącą po wyjściu z kondensatorów.



Rys. 9. Podgrzewacze i wyparki

Szosta kotłownia, wybudowana w 1926 r., była początkowo wyposażona w 4 kotły po 1000 m² pow. ogrzew. z podgrzewaczami powietrza po 520 m² i ekonomizerami po 1000 m² pow. ogrzew.; po raz pierwszy zastosowano przy nich paleniska schodkowe ruchome Seyboth'a. W 1927 r. dobudowano 2 kotły po



Rys. 10. Krzywa sprawności kotłów

1000 m² pow. ogrzew. i z takimiż paleniskami, a w 1928 r. dostawiono 6 kotłów po 1000 m² pow. ogrzew. z podgrzewaczami powietrza, wody i z mechanicznymi paleniska-

mi nieckowatemi wody f. Fränkel Viebahn. Te ostatnie 6 kotłów wyposażono w dodatkową instalacją dla wzmocnienia ciągu, co umożliwiło podniesienie obciążenia z 50 na 60 kg/m² godz. pary. Dla kotłów wybudowano 2 kominy o średnicy 5040 mm w świetle i 100 m wysokości.

Kotłownia G (rys. 7 i 8) rozpoczęta w sierpniu 1929 r. składa się z 8 kotłów po 1000 m² pow. ogrzew. Cztery z tych kotłów dostarczyła f. Babcock a cztery firma Borsig. Są to kotły czterowalczakowe z podgrzewaczami powietrza à 520 m² pow., podgrzewającymi powietrze do 175 — 200° C., oraz ekonomizerami żebrowymi po 2300 m² pow. ogrzew. Powierzchnia rusztu wynosi 46 m², długość rusztu 5480 mm.

Wydajność kotła wynosi 60 t/godz. przy ciągu naturalnym. Temperatura pary 380 — 400° C. Kotłownia posiada 2 kominy 120 m wysokie, o średnicy 6400 mm w świetle.

Dużą uwagę zwrócono przy budowie kotłowni G na wielkość komór paleniskowych, które są znacznie większe niż w kotłowni



Rys. 11. Część hali maszynowej centrali Golpa Zschornewitz

F. Również w porównaniu z innymi nowoczesnymi kotłowniami wykonano konstrukcję kotłów niezależnie od konstrukcji budynku.

Nowe kotły posiadają przy każdym górnym walczaku po jednym szkle wodowskazowym; różnica poziomów wody w obu górnych walczakach, przy forsowaniu wynosi 140 mm. Oprócz tych szkieł istnieją szkla sprrowadzone do stanowiska palacza.

Woda zasilająca przy wejściu do kotła ma temperaturę 100° C i zawiera około 0,03 mg/l tlenu. Wodę dodatkową zmiękcza się zapomocą sody i wapna a następnie odparowuje w odparowalnicach, ogrzewanych parą pobieraną z turbin (rys. 9); twardość wody zmiękczonej wynosi 0,1 — 0,2 twardości niem.

Stacja pomp składa się z 19 pomp dawnych i dostawionych; dla kotłowni F i G dostawiono 5 turbo pomp po 400 m³/godz. oraz jedną pompę z napędem elektrycznym po 390 m³/godz.

Próby przeprowadzone nad kotłami *F* i *G* wykazały wyniki lepsze od gwarancji. Rys. 10 obejmuje zestawienie wyników. Maxymalne obciążenie wyniosło 65 — 68 kg/m^2 godz. pary. Obciążenie kotła w ciągu 2 min. można podnieść z 20 kg na 50 kg/m^2 godz.; kotły zaś które w ciągu 9,5 godz. były utrzymywane pod parą, jednak pary nie produkowały, można w ciągu 6,5 min. obciążyć do 40 kg/m^2 godz.

Następujące cyfry podkreślają postęp w budowie kotłów opalanych wę-

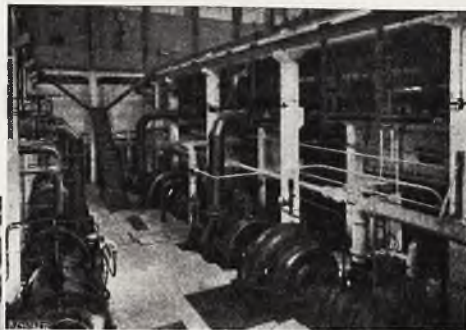
głem brunatnym. W dawnych kotłowniach każde 16 kotłów po 500 m^2 pow. ogrzew. odparowywało 200 t pary na godz. Powierzchnia zabudowana wynosiła 3092 m^2 przy 56840 m^3 objętości budynków.



Rys. 12. Turbogenerator 85.000 kW

Na jedną tonę wytworzonej pary przypada zatem 15,65 m^2 powierzchni zabudowanej i 284 m^3 objętości budynku. W kotłowni *G*

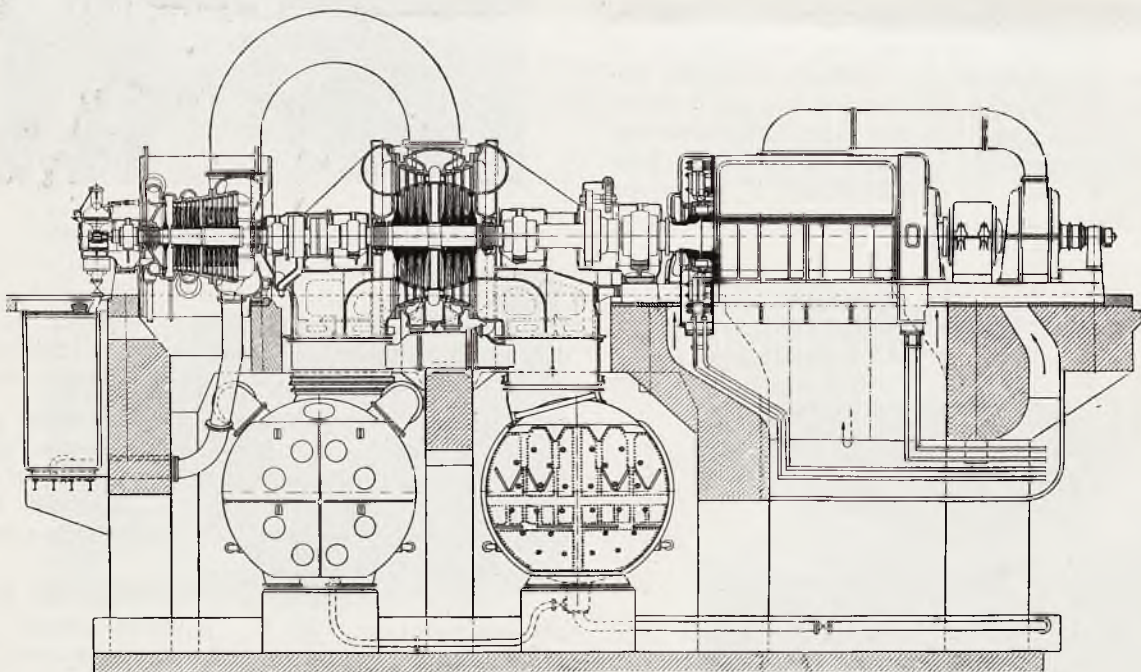
W starych kotłowniach na każde 5 kotłów o ogólnej wydajności 60 tn pary na godz. wypadało dwóch palaczy, w kotłowni *G* potrzebnych jest 4 palaczy na 8 kotłów, to jest na jednego palacza wypada 120 tn pary na godzinę. Obciążenie rusztu starych kotłów wynosiło 210, rusztów zaś kotłowni *G* — 500 kg/m^2 powierz. rusztu i godz.



Rys. 13. Sala pomp w podziemiu nowej turbinowni

Przy zamawianiu turbin przyjęto, że obciążenie siłowni pozwala na wybór b. dużych jednostek, których wielkość ograniczona jest

tylko pewnością ruchu, oraz zażądano, by dla pewności ruchu, każda część konstrukcyjna turbiny i generatora wykazywały przy obrotach o 25% wyższych od normalnych dwukrotny współczynnik bezpieczeństwa w stosunku do granicy płynności.



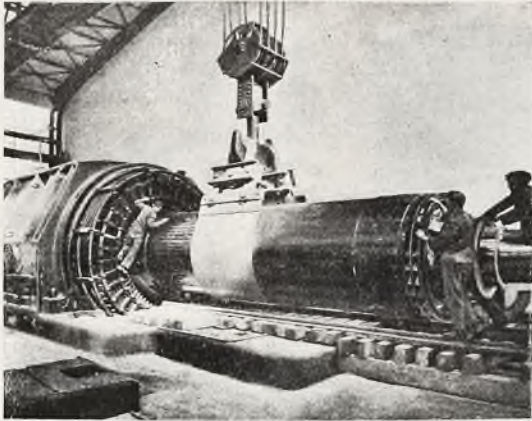
Rys. 14. Turbina 85.000 kW dostawy A. E. G. z generatorem dostawy Siemens Schuckert

ośm kotłów po 1000 m^2 wytwarzają 480 $t/godz.$ pary przy powierzchni zabudowanej 2442 m^2 i 48940 m^3 objętości budynków. A zatem na 1 tn wytworzonej pary przypada 5 m^2 pow. zabudowanej i 102 m^3 budynku. W dodatku kotłownia *G* jest dostępniejsza, jaśniejsza i lepiej przewietrzana.

Oprócz tego zażądano, by konstrukcja pozwalała na uruchomienie i obciążenie turbin w ciągu $1/2$ godziny, co też przez próby, po ustawieniu, zostało stwierdzone.

Ponieważ normalne wyłączniki bezpieczeństwa (Schnellschluss) wymagają około 7 sekund dla odcięcia dopływu pary, co może

wystarczyć dla rozbiegania maszyny, zażądano specjalnych dodatkowych urządzeń szybko odcinających dopływ pary.



Rys. 15. Montaż wirnika generatora 85.000 kW

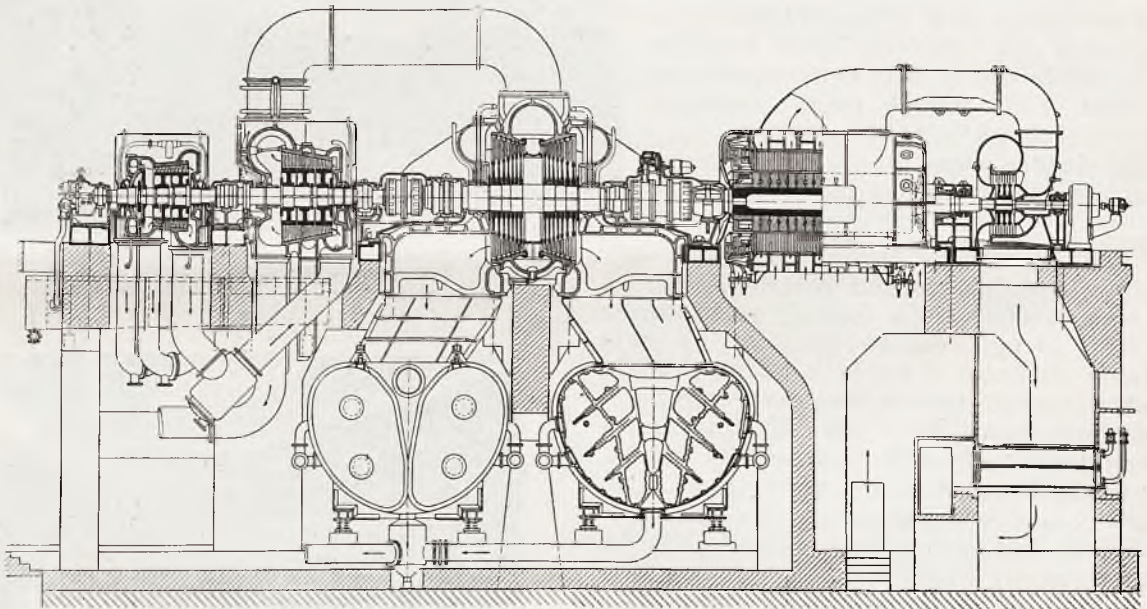
nano na 243 palach po 7 m długości z betonu prasowanego, z uzbrojeniem żelaznym. Dopiero na palach spoczywa płyta żelazo-betonowa 2,80 m grubości. Ogólny ciężar większego z fundamentów wynosi 4900 tn.

Wodę chłodzącą doprowadzają do pomp żelazo-betonowe kanały zamknięte, o przekroju 6 m^2 każdy.

Ilość wody chłodzącej dla każdej turbiny 85000 kW, przy pełnym obciążeniu, wynosi $28000\text{ m}^3/\text{godz.}$; ogólna zaś ilość wody chłodzącej dla turbin wynosi $122000\text{ m}^3/\text{godz.}$

3 nowe turbiny zbudowane są na ciśnieniu 13,5 atn i $360 - 380^\circ\text{C}$. Wszystkie one wyposażone są w podwójne szybko zamykające regulatory, które działają na wentyle i na kurki szybko zamykające się.

Turbina AEG o mocy 37500 kW zbudowana jest w dwóch osłonach jako turbina akcyjna z małą reakcyjnością; kondensator dla niej ma 6000 m^2 powierzchni. Rurki kon-

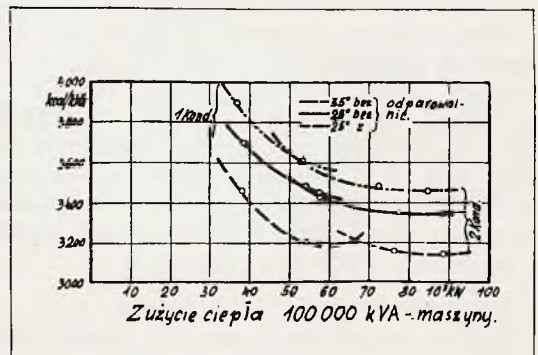


Rys. 16. Turbogenerator 85.000 kW dostawy Brown Boveri

Rys. 11 uwidocznia starą maszynownię, w której ustawiono turbogenerator 37500 kW budowy AEG.; natomiast tubergeneratory po 85000 kW ustawiono w nowowzbudowanej hali ustawionej prostopadle do starej hali; widok nowej hali podaje rys. 12, zaś rys. 13 podaje stację pomp kondensacyjnych.

Długość nowej hali wynosi 54 m, szerokość 42 m, wysokość 30 m. Hala wyposażona jest w 2 suwnice po 110 tn siły nośnej; aby podnieść najcięższą część ważącą 220 tn, sprzęga się 2 suwnice razem.

Fundamenty tubergeneratorów 85000 kW, ze względu na wielkość, zostały b. dokładnie przeliczone i troskliwie wykonane. Pomimo że można było liczyć nośność gruntu $2 - 3\text{ kg}/\text{cm}^2$, to jednak każdy z tych fundamentów wyko-



Rys. 17. Zużycie energii cieplnej przez turbiny 85.000 kW

densatora z jednej strony są zawalcowane, z drugiej ujęte w dławnice. Odpowietrzanie

kondensatora o dwukierunkowym przepływie pary skuteczniejszą ejetory wodne, którym wody dostarcza specjalna pompa. Pompy wody chłodzącej, wody dla ejetorów i kondensatu napędza specjalna turbina z przekładnią 5000/600 obr/min.

Turbina *AEG* z generatorem *S/S* o mocy 100000 *kVA* zbudowana jest na 1500 obr/min i może pracować przy 85000 *kW* stałego obciążenia. Zbudowana jest w dwóch osłonach o dwukierunkowym przepływie pary w niskoprężnej części (rys. 14); posiada dwa kondensatory o powierzchni 12800 *m*². Para dopływa 4 przewodami o 400 *mm* w świetle, przepływa przez 2 szybko odcinające kurki, 4 szybko odcinające wentyle i 7 wentyli regulacyjnych, ustawionych w dwóch grupach po obu stronach maszyny.

Kondensacja ma 2 zespoły pomp takich samych jak i turbina 37500 *kW*: zapotrzebowanie mocy dla kondensacji wynosi 2600 *kW*; napęd pomp zapomocą przekładni zębatej 5000/500 obr/min.

Chłodzenie generatora przy pomocy obiegu okrężnego. Oprócz tego obok głównej wzbudnicy ustawiono dodatkowy wentylator.

Rys. 15 podaje montaż rotora generatora *SS* o mocy 100000 *kVA*. Statory generatorów *SS* i *BBC* (drugi zespół 100000 *kVA*) mają uzwojenie dzielone i każde z uzwojeń może być oddzielnie obciążone; mogą więc generatory pracować na 6500 *V* lub 13000 *V*. Stator *SS* generatora waży 212 *tn*, rotor zaś 100 *tn*. Rotor ma 1750 *mm* średnicy zewnętrznej. Ciężar ogólny turbiny, generatora, z odparownicami lecz bez przewodów wynosi 1450 *tn*; długość maszyny 27260 *mm*.

Turbina *BBC* (rys. 16), również o mocy 100000 *kVA*, zbudowana jest również na 1500 obr/min.

Para dopływa 4 przewodami po 400 *mm*; na każdym przewodzie znajduje się szybko odcinający kurek; z każdej strony osłony wysokoprężnej znajduje się szybko odcinający wentyl i 2 wentyle regulacyjne. Maszyna zbudowana jest w 3 osłonach jako czysto reakcyjna z kołem Curtis'a jednak nie posiada bębnow a tylko koła z łopatkami, aby opanować trudności wydłużeń cieplnych.

Rozrząd olejowy.

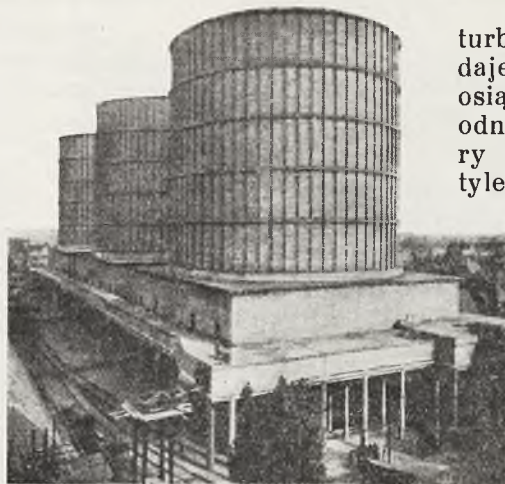
Kondensacja ma 2 zespoły pomp napędzanych przez turbinę parową zapomocą prze-

kładni zębatej 5000/500 obr/min. Powierzchnia kondensatora wynosi 12000 *m*².

Generator budowany jest na te same warunki pracy co generator *SS*, jedynie chłodzenie jest nieco inne, co widać z rysunku 16.

Wyniki badań nad turbiną 85000 *kW* podaje rys. 17. Sprawność osiągnięta wynosi 87,7%, odniesiona do stanu pary przed głównym wentylem.

Rys. 18 uwidocznia dawne chłodnie drewniane i 3 no-



Rys. 18. Trzy nowe chłodnie betonowe o wydajności chłodni 14000 *m*³/h oraz baterja dawniejszych chłodni z odstożnikami



Rys. 19. Sala rozdzielcza w Zschornewitz

we chłodnie betonowe oraz odstożniki. Te ostatnie przewidziane są na 14000 *m*³/godz.

Średnica chłodni betonowych 33 *m*; wysokość 50 *m*. Średnice przewodów tłoczących od turbin 85000 *kW* do wież wynosi 1700 *mm*; szybkość wody wynosi 3,4 *m*/sek.

Rys. 19 podaje salę rozdzielczą.

Ogólna moc transformatorowni wynosi 545000 *kVA*. Wielkość transformatorów 20000—50000 *kVA*.

Ogólna moc stała siłowni wynosi 440000 *kW*.

Inżynier mech TEODOR CZAJKOWSKI.

OSZCZĘDNOŚĆ PRZY STOSOWANIU PALENISK PODMUCHOWYCH NA MIAŁ WĘGLOWY

Paleniska podmuchowe, służące do spalania najgorszego i najtańszego paliwa, dają bardzo dobre rezultaty, pod względem termicznym niewiele niższe od palenia węglem sortowym (orzeczy, groszki) — pod względem zaś eksploatacyjnym dają znaczne oszczędności, obniżając znakomicie koszt wytwarzania jednostki pary. Pozatem pozwalają zwiększyć natężenie powierzchni ogrzewalnej kotła, czynią wytwarzanie pary więcej sprężystym i dając lepsze spalanie mniej dymią niż zwykłe ruszta płaskie.

Paleniska te coraz częściej są stosowane, jak w nowych, świeżo ustawianych, tak również i w starych instalacjach kotłowych.

Celem niniejszego, jest wykazanie, jak paleniska takie kalkulują się w małych instalacjach kotłowych, na które właśnie ze względu na ich nieznaczną wielkość mało zwraca się uwagi. W wytwórniach Państwowego Monopolu Spirytusowego w ostatnich 3 latach zamieniono w kilkunastu kotłach, paleniska zwykłe, płaskie na omawiane paleniska podmuchowe, jak również i do nowych instalacji zastosowano podmuch.

Otrzymano tym sposobem: duże oszczędności, gdyż zamiast orzecha i groszku po cenie Zł. 28, za tonnę loco kopalnia — spala się miał po cenie Zł. 9,39 do 13,45 za tonnę loco kopalnia.

Przeprowadzone próby gwarancyjne potwierdziły założenie dostawców, poniżej zaś podają porównanie kosztów prowadzenia kotła przed i po założeniu ruszta z podmuchaem dla kotła wodnorurkowego i lankaszyskiego.

Dane charakterystyczne badanego kotła:

Kocioł wodnorurkowy syst. „Fitzner — Gamper“.

Ciśnienie robocze — 12 atn.

Pow. ogrzewaln. kotła — 72 m².

Pow. przegrzewacza — 19 m., temp. przegrzania pary 250° C.

Pow. podgrzew. wody zasilającej — 10,6 m².

Ruszt podmuchowy, daszkowy, krajowy o pow. 2 m².

Stosunek: R : S = 1 : 36.

Rezultaty badania: po zmianie ruszta (próba 23.V.30 r.).

Paliwo — miał z kop. JOWISZ o dolnej wartości opałowej $W_u = 5398$ Cpl.

Cena węgla loco miejsce zużycia 24,76 zł. za tonnę.

Odparowanie 1 kg. C. — 4,62 kg pary.

Przy średnim obciążeniu kotła 20 kg/m² pow. ogrzew. godz. należy spalać dziennie przy 9 cio godz. pracy kotła:

$$\frac{20 \times 72 \times 9}{4,62} = 2810 \text{ kg węgla miału.}$$

za cenę 2810 × 24,76 zł. = . . . 69,60 zł.
energia elektr. do napędu wentylat. 7,— „
smary. 0,40 „
Ogółem koszt = 69,60 + 7 zł. + 0,40 zł. = 77,00 zł.

Stan poprzedni: próba z dn. 13.I.1928

Ruszt zwykły płaski o pow. ogrzew.

$$S = 1,72 \text{ m}^2$$

Węgiel orzech II z kop. SATURN

o wartości opałowej dolnej

$$W_u = 5955 \text{ Cpl.}$$

Cena loco miejsce zużycia 45,03 zł.

$$\text{tonna}$$

Odparowanie z kg. C — 4,88 kg pary.

Przy średnim obciążeniu kotła 20 kg/m² pow. ogrzew. godz. należy spalać dziennie przy 9-cio godz. pracy kotła:

$$= \frac{20 \times 72 \times 9}{4,88} = 2660 \text{ kg C.}$$

węgla, orzech II

za cenę: 2660 × 45,03 zł. = . . . 120 zł.

Różnica: 120 — 77 = 43 zł., t. zn. 36% taniej na korzyść palenisk podmuchowych.

Skutek użyteczny kotła przy paleniu z podmuchaem = 52,25%.

Skutek użyteczny kotła przy paleniu orzechem = 54%.

Różnica więc jest nieznaczną, którą jednak całkowicie pokrywają i przekraczają plusy otrzymane na dużo niższej cenie miału.

W danym wypadku użyto miał z kop. JOWISZ, którego cena wówczas wynosiła loco kopalnia 9 zł. tonna.

W wypadku węgla droższego (Kazimierz, Saturn) cena będzie wynosiła ok. zł. 12,60 — co nieznacznie zmniejszy podaną wyżej oszczędność — mianowicie:

palenie miałem . . . 87,40 zł.

palenie orzechem . . . 120,— zł.

Różnica . . . 32,60 zł.

t. zn. ok. 27% taniej na korzyść palenia miałem (palenisk podmuchowych).

Jeżeli będziemy używać miału śląskiego, zamiast dąbrowskiego — otrzymana oszczędność będzie wynosić ok. 40%.

Cena takiego paleniska łącznie z wentylatorem, przewodami i montażem do kotła o pow. $72 m^2$ — wynosi od 2500 do 3000 zł. czyli, że amortyzuje się ono w ciągu 3 miesięcy przy ruchu 8-io godzinnym i w ciągu 1 mies. przy ciągłej pracy kotła.

Przy zastosowaniu palenisk podmuchowych do kotłów płomienicowych oszczędność wyrazi się następująco: porównanie przeprowadzam pomiędzy kotłem 2-u płomienicowym na 6 *atn* ciśnienia i $120 m^2$ pow. ogrzew. z paleniskiem podmuchowem, i kotłami 100,6 i $76 m^2$ z paleniskami zwykłymi płaskimi.

1) palenisko podmuchowe, paliwo węgiel-miał górnośląski o dolnej wartości kalorycznej:

$$W_u = \tilde{+} 6500 \text{ Cpl.}$$

Cena loco miejsce prób — 30,16 zł. za 1 tonnę
 Odparowanie z 1 *kg* węgla — 7,17 *kg* pary
 Koszt produkcji 1000 *kg* pary

$$\text{Węgiel} - \frac{1000}{7,17} \cdot \frac{30,16}{1000} = \dots \dots 4,23 \text{ zł.}$$

Energja elektr. i smary do napędu wentyl. 30 zł.
 4,53 zł.

Koszt 1000 *kg* pary — 4,53 zł.

2) paleniska zwykle—paliwo—orzec III lub groszek I górnośląski o dolnej wartości opałowej $W_u = 6700 \text{ Cpl.}$, cena loco miejsce zużycia—Zł. 47,65 za tonnę, odparowanie z 1 *kg* węgla — 8,03 *kg* pary; na wyprodukowanie 1000 *kg* pary zużyto węgla:

$$\frac{1000}{8,03} = 124,5 \text{ kg.}$$

za cenę $47,65 \times 124,5 = \dots \dots 5,93 \text{ zł.}$
 t. zn. koszt produkcji 1000 *kg* pary = ~ 5,93 zł.

Różnica wyniesie $5,93 - 4,53 = 1,40 \text{ zł.}$ czyli ~ 24% oszczędności na korzyść palenisk podmuchowych i miału węglowego.

UWAGI: 1. W koszcie produkcji pary nie uwzględniono obsługi, amortyzacji urządzeń, budynków i generalji — co jednak do porównania nie jest potrzebne.

1. Ciśnienie pary i temperatura wody zasilającej w obu wypadkach były prawie równe, wobec czego do obliczeń wzięto odparowanie pozorne.

Inż. T. S.

Z USZKODZEŃ KOTŁOWYCH

W jednej z większych fabryk mebli giętych w Radomsku pracuje pod ciśnieniem $10\frac{1}{2} \text{ atn}$ kocioł systemu Tischbeina o po-

W kotle tym przy pierwszych rewizjach przez inżynierów Stowarzyszenia Dozoru Kotłów stwierdzono na wyobleniach dennie dol-



Rys. 1



Rys. 2

wierzchni ogrzewalnej $200 m^2$ zbudowany w 1907 r. przez jedną z zagranicznych wytwórni.

nego walczaka rysy powstałe od pracy przy tłoczeniu dennic.

Rysy te początkowo nieznaczne, nie-
ledwie powierzchowne z biegiem czasu za-

pracy kotła, wobec czego kocioł natychmiast
zatrzymano i przygotowano do oględzin.



Rys. 3



Rys. 6

częły przybierać groźniejszy charakter, co
skłoniło rewidujących ten kocioł inżynierów



Rys. 4



Rys. 7

do znacznego skracania terminów następ-
nych rewizyj.



Rys. 5

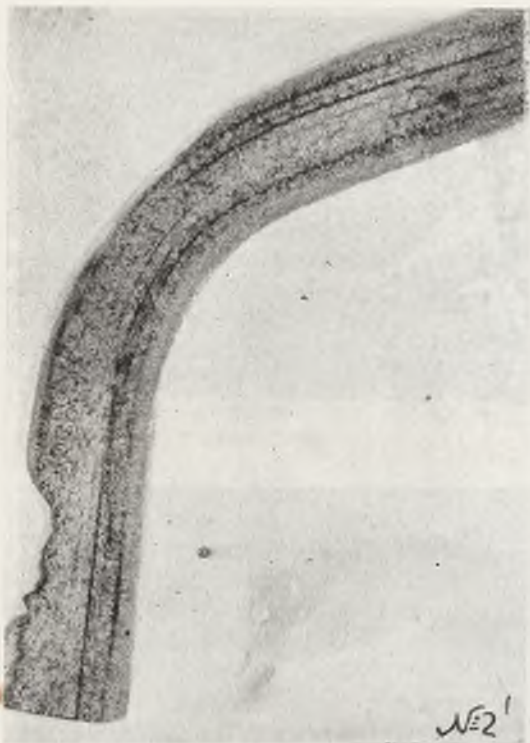


Rys. 8

Na jesieni 1930 r. administracja fabryki
sposzregła nieznaczne parowanie na prawem
wyobleniu dennicy dolnego walczaka podczas

Rewizja kotła wykazała pęknięcie tego wyoblenia na wylot na długości około 100 mm.

Z uszkodzonej dennicy wycięto kawałek wyoblenia w pobliżu pęknięcia, przygoto-



Rys. 9 .



Rys. 11

wano szlify, które zbadano za pomocą reakcji Baumana.

Załączone rysunki ilustrują powyższy wypadek i przedstawiają:



Rys. 10



Rys. 12

Wobec powyższego obie dennice dolnego walczaka kotła zmieniono na nowe.

rys. 1 — uszkodzone wyoblenie od wewnątrz kotła,

rys. 2 — wyoblenie j. w. z zewnętrznej strony (na rysunku wyraźnie widać pęknięcie),

rys. 3—7 szlify z wyciętego wyoblenia

rys. 5 pęknięcie na wylot,

rys. 8—12 odbitki z reakcji Baumana.

Powyższy wypadek potwierdza, że wszelkie drobne defekty, nawet powierzchniowe, powstałe przy tłoczeniu dennie należą do

uszkodzeń, które stopniowo rozwijają się i w następstwie mogą doprowadzić do niebezpiecznych konsekwencji.

Sprawa ta staje się tembardziej ważną, gdy mamy nieraz do czynienia z materiałem niezupełnie dobrym, jak naprzykład w danym wypadku z rys. 8—12 widzimy, że materiał był silnie zanieczyszczony siarką.

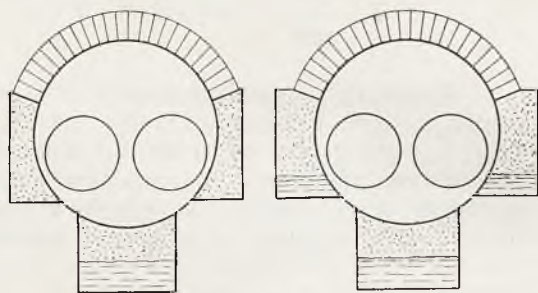
Prof. Cz. GRABOWSKI.

ZASADY HYDRAULICZNEJ TEORJI CIĄGU NATURALNEGO

(Por. *Technika Ciepłna*, str. 128, 1931).

II. Prądy gazów w komorach i kanałach poziomych.

Z wykładów podanych w rozdz. 6—10, które traktują o przepływie gazów w kanałach pionowych, widzimy, że zgodnie z *prawami ciężkości* cząsteczki gazu o niższej temperaturze mają tendencję do opadania w dół, a cząsteczki o temperaturze wyższej dążą do unoszenia się w górę; tendencja do wytwa-

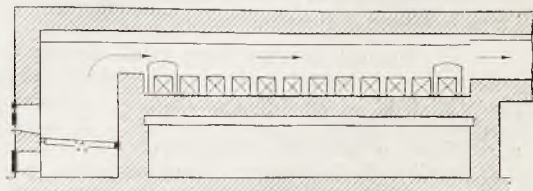


Rys. 53 a i b

rzania prądów o wyżej wymienionych kierunkach naturalnych jest powodem, że w pionowych prądach odwrotnych do kierunku naturalnego powstają szkodliwe *prądy konwekcyjne*. Podobne zjawiska obserwować możemy w komorach i kanałach poziomych; na dnie takich komór zbierać się mogą gazy ostudzone, które w wielu wypadkach z praktycznego punktu widzenia traktować możemy jako gazy nieruchome. W ten sposób w komorach poziomych powstają niekiedy przestrzenie martwe o temperaturze niższej od prądu głównego, z czego zdawać sobie powinniśmy sprawę przy projektowaniu tego rodzaju instalacyj.

Nprz. w kanale umieszczonym pod walczykiem kotła parowego (rys. 53 a i b) dolną warstwę nieruchomą dolnego kanału (zaznaczoną na rysunku grubymi kreskami) do pewnego stopnia traktować możemy jako pożyteczną warstwę izolacyjną.

Co innego będziemy mieli, jeżeli kanał poziomy jest piecem do termicznej obróbki metali (rys. 54) w blokach lub mechanicznie obrobionych, które w kształcie brył lub pakietów leżą na dnie komory. Górą mogą ulatywać do komina nieostudzone gorące gazy, a na dnie pozostanie metal, który nie był poddany należytemu działaniu wysokiej temperatury. Nie trzeba dowodzić, że w wypadkach tych piece zużywają nieprodukcyjnie znaczne ilości paliwa i dają produkt nienależycie wyżarzony. Aby zapobiec tego rodzaju zjawiskom, należy tak dobrać wysokość komory ogniowej, by płomień sięgał do dna, niepozostawiając przestrzeni martwych.



Rys. 54

Pragnąc dać matematyczne rozwiązanie tego rodzaju zagadnień, prof. Grum-Grzymajło zwrócił się do petersburskiego prof. hydrauliki Jeśmana o pomoc i poradę, a wtedy prof. Jeśman opracował teorię przepływu gazów przez omawiane piece, która następnie posłużyła prof. Grum-Grzymajle za podstawę

do jego hydraulicznej teorii działania pieców metalurgicznych i ceramicznych¹⁾.

Prac Jeśmana ani Grum - Grzymajło, ani jego uczniowie nie wykorzystali należycie. Oprócz całego szeregu wskazówek ogólnych z teorii ciągu²⁾ Grum-Grzymajło z prac Jeśmana zastosował wzór specjalny na *maximum* dopuszczalnej wysokości h komory, przez którą w kierunku poziomym przepływają gazy o wysokiej temperaturze:

$$h \leq A \sqrt[3]{\frac{V^2}{B^2 t}} \quad (95)$$

We wzorze tym $t^{\circ}C$ — temperatura gazów w komorze; V m^3/sek — objętość tych gazów (w temp. t°), przepływająca przez badaną komorę w ciągu sekundy; zaś współczynnik A (o którym szczegółowo pomówimy niżej) posiada odpowiedni skomplikowany wymiar.

Wzór Jeśmana prof. Grum - Grzymajło i jego uczniowie przyjmują bez zastrzeżeń i dyskusji, nie zastanawiając się zupełnie nad temi fizycznymi i hydraulicznymi założeniami, które stanowią jego logiczną podstawę³⁾.

Sądzę, że taki brak krytycznego poglądu na wzór matematyczny wprowadzony do stałego użycia czy to przy kontroli technicznej, czy też w biurze konstrukcyjnym, może skierować inżynierów na błędne tory; dla tego też w pracy niniejszej postaram się wyprowadzić wzór Jeśmana⁴⁾ i wyjaśnić zakres jego stosowalności.

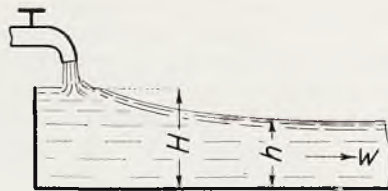
¹⁾ Pierwsza praca Jeśmana z tej dziedziny drukowana była w r. 1910 (*Żurnal russk. metalurgicz. obszczestwa* Nr. 6 str. 319); praca ta została uzupełniona i powtórzona w r. 1914 (w Nr. 6, str. 725 tegoż czasopisma). Powtórzenie tej ostatniej pracy znajdujemy w cz. II dzieła Gruma-Grzymajły o piecach płomiennych. „Płamiennye pieczy”.

²⁾ Które w artykule niniejszym podałem w całym odmiennie formie.

³⁾ Oprócz szeregu prac prof. Gruma-Grzymajły (zebranych w wyżej cytowanym dziele „Płamiennye pieczy”) mam tu na myśli 1) dziełko Zalesskiego o paleniskach i piecach (patrz rozdz. 3), 2) broszurę Podgorodnika o piecach domowych (patrz rozdz. 8) i 3) dziełko Rafałowicza: „Racjonalizacja pieców metalopromyslności” (wydane przez instytut techniki cieplnej w Moskwie w r. 1929). W dziełku tem (zawierającym 201 stron i 38 rysunków) podane są a) metody i szczegółowe instrukcje badania pieców przemysłu metalowego, b) rezultaty badania 11 pieców przed rekonstrukcją, rysunki i opisy tych pieców w stanie pierwotnym i rekonstruowanym, wreszcie rezultaty badania tych pieców po przebudowie.

⁴⁾ Uczynię to w formie nieco odmiennie od tej, w jakiej uczynił to autor; lecz dalsze zastosowania tego wzoru (nprz. do kotłów parowych) odłożę do pracy następnej.

Aby zrozumieć lepiej ideę Jeśmana wyobraźmy sobie rynnę prawie poziomą o przekroju prostokątnym $H \times B$ (rys. 55); do



Rys. 55

rynnę tej doprowadzamy ostrożnie wodę z kurka wodociągu w taki sposób, by wypełniała ona zamknięty koniec tej rynny po brzezi. Poziom ten jednak nie utrzyma się na całej długości rynny, lecz opadnie do wysokości od dna $h < H$, a więc przekrój prądu uchodzącego z drugiego końca rynny będzie $B h$. Różnica poziomów $(H - h)$ da nam ciśnienie niezbędne do wytworzenia prędkości prądu

$$w = \sqrt{2g(H-h)}$$

a zatem objętość wody przepływającej przez rynnę w ciągu sekundy wyniesie

$$V = B \sqrt{2g(Hh^2 - h^3)} \quad (96)$$

W równaniu tem mamy dwie niewiadome

$$V \frac{m^3}{sek} \text{ i wysokość } h \text{ m.}$$

Rozpatrując analogiczne równania, charakteryzujące przepływ wody przez t. zw. jazę, t.j. przegrody na rzekach lub kanałach¹⁾ Boussinesq dochodzi do wniosku, że w wypadkach tego rodzaju wysokość h ustali się wtedy, gdy wydatek V osiągnął *maximum*²⁾.

¹⁾ „Théorie approchée de l'écoulement de l'eau sur un déversoir” par M. J. Boussinesq (Extrait des Mémoires de l'Académie des Sciences de Paris 1907) str. 4, 5, 11 i nast. W pracy tej autor twierdzi, że *ciągłość zjawisk*, które zachodzą *podczas ustalenia się procesu*, powoduje fakt, że ilość przepływu musi osiągnąć *maximum*.

²⁾ Mamy tu do pewnego stopnia analogię z wylotem pary z kotła parowego do atmosfery przez *cyldryczną rurę*. Wydatek prądu, t.j. ilość pary wpływającej z rury w ciągu sekundy przez jednostkę pola przekroju $Q : F = w\gamma$. Ciśnienie w rurze spada, a więc prędkość w wzrasta, lecz ciężar właściwy γ maleje; ten spadek ciśnienia zachodzić może w rurze o stałym przekroju jedynie do pewnej granicy zwanej w termodynamice *ciśnieniem krytycznym*, kiedy ilości $w\gamma$ osiąga *maximum*.

KRONIKA TECHNICZNA

Badania odbiorcze turbin wodnych, w siłowni Ryburg-Schwörstadt n/R¹⁾.

W pierwszych dniach października 1930 roku zostały przeprowadzone badania turbin wodnych w siłowni Ryburg-Schwörstadt, których wyniki są poniżej w krótkości podane.

Wskazane jest podanie pewnych ogólnych uwag, dotyczących powyższych turbin. Dostawa czterech turbin Kaplana została powierzona firmom: Ateliers des Charmilles S. A. w Genewie, Escher Wyss w Zürichu i I. M. Voith w Heidenheim. Ponieważ chodziło w danym wypadku o turbiny Kaplana, o niespotykanej dotąd wielkości i mocy, przeprowadzono cały szereg badań, aby uczynić zadość stawianym wymaganiom, tak pod względem hydraulicznym, jak i mechanicznym. — Turbiny były budowane dla założenia: najwyższa moc 38700 *KMe*, przy czym ilość wody wynosi 295 m^3/s przy spadku 11,5 *m* i 75 *obr/min*. Zewnętrzna średnica koła kierującego wynosi 11,6 *m*, zewnętrzna średnica koła pracującego 7 *m*. Waga kompletnie zmontowanego koła pracującego wynosi 110 *ton*. Całkowicie zmontowana turbina waży około 600 *ton*.

Najwyższą sprawność turbiny 92,7% osiągnięto przy 24000 *KMe*. Przy 6000 *KMe* sprawność wynosi 80%, natomiast w granicach od 12175 *KMe* do 35000 *KMe* ponad 90%.

Sprawność całkowitej jednostki, odniesiona do mocy mierzonej na zaciskach generatora, osiągnęła najwyższą wartość 89,4% przy 19420 *kW*. W granicach od 9000 do 27000 *kW* sprawność wynosi ponad 85%.

M. N.

Proces Bergiusa²⁾.

Dr. Bergius otrzymał w r. 1914 patent na sposób zamiany węgla na smołę o podobnych własnościach, jak ropa. Zasadę procesu stanowi ogrzewanie pasty, wytworzonej z połączonej smołą masy węgla z 5-ma procentami tlenku żelaza w atmosferze wodoru. Temperatura ogrzewania powinna wynosić około 450° C. zaś ciśnienie wodoru około 200 *atn*.

W „The Fuel Research Board“ przeprowadzono badania nad procesem Bergiusa. Wydajność smoły podobnej do ropy można uważać za zadawalną, jednakże ten półprodukt przedstawia się, jako smołowata ciecz z znaczną zawartością wody i zawieszonych części stałych. Stałe te części można usunąć na wirówce, jednakże nie bez poważnych strat sztucznej ropy. Destylowanie smoły bez oddzielenia części stałych, powoduje burzenie się płynu i silne uderzenia w naczyniu destylacyjnym.

W czasie prób wykonano znaczne ulepszenia procesu przez wprowadzenie wodoru w stały obieg przez skraplacz, w którym stale zbierano lotne części.

Olej, otrzymany w tych warunkach, różni się od smoły, otrzymywanej w normalnym procesie Bergiusa. Jest on koloru ciemno brązowego, przezroczysty w cienkich warstwach i nie zawiera części stałych. Pozostałość po destylacji powyżej 360° C. nie jest już smołą gęstą, lecz gęstym, ciężkim woskowatym olejem. Po ulepszeniu tem można otrzymać z tony węgla ok. 540—600 litrów sztucznej ropy.

Obok tego ustalono, że smołę otrzymaną podczas destylacji przy niskich lub wysokich temperaturach można w obecności katalizatorów przerobić na rodzaj ropy. Najlepsze rezultaty przeróbki ciężkiej smoły otrzymano przy temperaturze 450° i ciśnieniu wodoru 106 *atn*. Jako katalizator użyto kwas molibdenowy i siarkę. W rezultacie otrzymano jasną, wolną od siarki i smoły ciecz, całkowicie rozpuszczalną w lekkiej nafcie. Wydajność oleju wynosiła 78% od nowej zaś instalacji, mającej pracować w sposób ciągły, oczekuje się znacznie lepszych wyników.

Frakeję smoły, wrzącej poniżej 230° przerabiano w sposób podobny, używając jednak do katalizacji wyłącznie kwasu molibdenowego. Całą smołę przemieniono w neutralny olej, wrzący w całości poniżej 170° C. Destylat tego oleju nie wymaga żadnej rafinacji. W dalszych doświadczeniach, wprowadzono wodór pod ciśnieniem atmosferycznym, używając za katalizatory kwas molibdenowy i aktywny węgiel drzewny, otrzymując 80% wydajności oleju w stosunku do teoretycznego obliczenia. Doświadczenia te doprowadziły do wniosku, że z 20 litrów gazowanej smoły można otrzymać 16 litrów destylatu, nadającego się do napędu silników o 4 litry neutralnego oleju, wrzącego w zakresie temperatur od 230 do 360° C. Potrzebny wodór jest kosztownym, można jednak otrzymać go o czystości 98,4% aparatem Lane-Rogers.

Kf.

Szybkości spalania mieszanek gazowych¹⁾.

Badano szybkość spalania w powietrzu tlenku węgla i gazu świetlnego, mierząc szybkość spalania sposobem Michelsona, który stwierdził, że przy stałym składzie mieszaniny gazów powierzchnia wewnętrznej stożka płomienia jest proporcjonalną do szybkości wpływu gazu. Ułamek $v = \frac{q}{f \cdot z}$ przedstawia szybkość spalania, przy czym: *f* — oznacza powierzchnię poboczniczy stożka; *q* — ilość gazu, wypływającego w czasie; *z* — podany w sekundach czas wpływu; *v* — szybkość spalania.

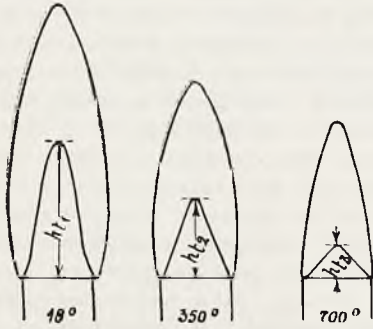
Powierzchnię stożka oblicza się, fotografując płomień. Oznaczenie temperatury podgrzania gazu wykonano w ten sposób, że przepuszczano gaz przez srebrną rurkę, ogrzaną do danej temperatury. Rys. 1 podaje kształty stożków dla różnej temperatury podgrzania gazu przy tej samej wagowej ilości gazu. Obliczone stąd szybkości spalania mieszanin tlenku

¹⁾ S. Bitterli. V. D. I. Nr. 13 (str. 382) r. 1931.

²⁾ Engineering, 131 (1931). № 3390. str. 18.

¹⁾ G. Tammann i H. Thiele, Stahl und Eisen 51, (1931) № 4, str. 109/10.

węgla z powietrzem podaje wykres rys. 2. Przez podgrzanie gazu z 18° na 700° , wzrasta szybkość spalania dziesięciokrotnie.



Rys. 1

Wielkość płomienia w zależności od temperatury podgrzania dla tej samej szybkości wypływu (55% CO + 45% powietrza).

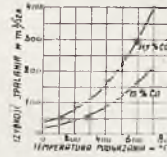
Oprócz temperatury wpływa na szybkość spalania stosunek tlenu węgla do powietrza. Z doświadczeń wynika, że maximum szybkości spalania leży przy stosunku $\frac{\text{CO}}{\text{Powietrze}} \sim 0,51$.

Autor objaśnia temi doświadczeniami tak zwane bezpłomienne spalanie powierzchniowe. W piecach powierzchniowych tłoczy się mieszaninę gazu z małym nadmiarem powietrza z dysz przez warstwę porowatych cegieł ogniotrwałych. Gdy piec jest zimny, spala się gaz ponad warstwą porowatych cegieł wysokim płomieniem. W miarę wzrostu temperatury, nagrzewają się porowate cegły przez promieniowanie, a wtedy zmniejsza się stale wysokość płomienia, znikając w końcu w rozżarzonej do białości warstwie cegły. Polega to, zdaniem autora, na zwiększaniu się szybkości spalania przez nagrzanie gazu. Z szybszym spalaniem wiąże się zmniejszenie się stożków płomieni. W miarę, gdy cegła nagrzewa się na coraz to większą głębokość, może płomień cofać się. Niebezpieczeństwem wybuchów można w tym wypadku przeciwdziałać zwiększaniem szybkości wypływu gazu.

Wnioski, wpływające z badań nad wpływem temperatur podgrzania na szybkość spalania, można przenieść na wielki piec. Rys. 3 podaje schemat składu i rozkładu gazu na poziomie dysz. U wylotu dysz tworzą się zawracające płomienie, w których spala się tlenek węgla z powietrzem.

Wewnątrz płomienia znajduje się powietrze, w zewnętrznym zaś stożku mieszanina CO₂ i CO.

W środku spalania składa się mieszanina gazu z CO i powietrza. Granicę pomiędzy strefą tlenu a CO₂ i granicę pomiędzy strefą CO₂ a CO można uważać za pobocznicę stożków, zastosować zatem w ten sposób wyniki badań autorów do studjów nad wielkim piecem. Z podniesieniem temperatury podgrzania palnych gazów zmniejszają się strefy I i II (rys. 3) na



Rys. 2



Rys. 3

I strefa wolnego tlenu,
II strefa CO₂, III strefa CO.

rzecz strefy III. Z wysokości wewnętrznych stożków płomienia mieszaniny CO z powietrzem można obliczyć zmianę przekroju strefy bogatej w tlen i CO₂ z wzrostem temperatury podgrzania. Wysokości stożków h_{t_1} i h_{t_2} zachowują się tak, jak zasięg H_{t_1} i H_{t_2} bogatej w tlen strefy u ujścia dysz, gdy podgrzano dmuch do t_1 i t_2 w palniku o średnicy 0,6 cm. $h_{t_1} = 1,16$ cm., zaś wysokości stożków wewnętrznych zmieniają się, według zestawienia 1.

ZESTAWIENIE 1.

Temperatura podgrzania °C	18	100	200	300	400	500	600	700
Wysokość wewnętrznego stożka płomienia	1,16	1,00	0,83	0,70	0,57	0,53	0,54	0,37
$\frac{h_{t_1} - h_{t_2}}{h_{t_1}}$	—	0,16	0,28	0,40	0,51	0,54	0,61	0,68

Na podstawie równości obliczonego ułamka $\frac{h_{t_1} - h_{t_2}}{h_{t_1}}$, z ułamkiem $\frac{H_{t_1} - H_{t_2}}{H_{t_1}}$, uważają autorzy stosunek $\frac{h_{t_1} - h_{t_2}}{h_{t_1}}$ za obraz ilości oszczędzonego koks.

Wreszcie zauważają autorzy, że kształt rozłożenia się stref różnych gazów powinien odpowiadać schematowi na rys. 3 ze względu na wyrażenie $\frac{h_{t_1} - h_{t_2}}{h_{t_1}}$, ujmujące ogólnie kształt stożków.

Kf.

TREŠĆ: T. Wróblewski, inż. Elektrownia Zschornewitz. — T. Czajkowski, inż. Oszczędność przy stosowaniu polenisk podmuchowych na miął węglowy. — T. S., inż. Z uszkodzeń kotłowych. — Prof. Cz Grabowski. Zasady hydraulicznej teorii ciągu naturalnego. — KRONIKA TECHNICZNA: M. N. Badania odbiorcze turbin wodnych. — Kf. Proces Bergiusa. — Kf. Szybkości spalania mieszanek gazowych.

SOMMAIRE: T. Wróblewski, ing. La centrale électrique de Zschornewitz. — T. Czajkowski, ing. Les économies des foyers à tirage forcé pour les fines de charbon. — T. S., ing. Les fissures des chaudières à vapeur. — Prof. Cz. Grabowski. La théorie hydraulique du tirage naturel. — CHRONIQUE: M. N. Les essais de turbines hydrauliques. — Kf. Le procès Bergius. — Kf. La vitesse de combustion des mélanges gazeux.